

## II-34 造波装置に関する基礎的研究(その2)

東都大学工学部 正員 野町英明

海岸工学上の諸問題を解析する一つの方法として、近年、模型実験がさかんに利用されつつある。しかし波動現象に関する諸問題を模型実験によって解析する場合には、造波装置の特性を十分に解明しておかなければならぬ。一般に工学的な計算には微小振幅波理論を用いることができるとされてはいるが、実際の模型実験では、微小振幅波理論に合致した波が起きてはいるかどうかは、非常に疑問である。著者は昭和36年度土木学会関西支部講演会において、フラッターワー式波起し桿の特性について若干の実験的考察を行なつたが、その後、さらに実験を加え、さらに検討を加えた。

この研究に用いた実験装置は長さ24m、中0.5m、および高さ1.0mの両面ガラス張水路の一端に金網の波起し装置を取り付け、これより約4mはなれたところに水底がヒンジになつたフラッターワー式波起し桿を取り付けた。また他端には木製の傾斜部をもうけ、その勾配を1%とし、水深は60cmを一定にして、実験を行なつた。なお波起し桿には1/4HPのモーターを取り付け、腕の長さは0~20cmまで変えることによつて波高を調節し、周期は無段变速桿により0.6~2.5秒の間に連続的に変えることができる装置とした。なお波起し桿によつて起された波の特性を知るには、従来から行なわれてきたように、水面の変化、波速および水粒子の運動などを、電気抵抗式波高計およびストロボ・フラッシュなどを用いて実測した。

一般に、水底にヒンジを持つフラッターワー式波起し桿の波は Biessel によると

$$H = 2KL \quad (1)$$

で表わされる。ここで、 $H$ は波高、 $L$ は静水面における波起し桿の最大変位であり、 $K$ は水深に關係する常数である。

$$K = \frac{\sinh(2\pi R/L) \{ 1 - \cosh(2\pi R/L) + (2\pi R/L) \sinh(2\pi R/L) \}}{(2\pi R/L) \{ \sinh(2\pi R/L) \cdot \cosh(2\pi R/L) + (2\pi R/L) \}} \quad (2)$$

である。ここで、 $R$ は水深であり、 $L$ は波長である。

### 1. 波高に関する実験結果

いま、波起し桿の平均位置を原点に、波の進行方向にX軸をとった場合、 $x=4.0m$ における波高と周期との関係を、 $L$ をパラメーターとして示したのが図-1である。ここで、実線は Biessel の理論曲線であるが、実験値の方がやや小さくなつてゐる。さらに、周期Tが1秒より小さくなると、波高は急激に小さくなつてゐる。この現象は Johnson、および Biessel の実験結果にもその傾向がみられる。この原因につれて若干の考察を行なつてみよう。実験中、波起し桿附近で碎波が現れるようになると、波形は permanent type ではなくなり、波高は急激に小さくなるのがみられた。図-2はその1例で、ある実における水面の時間的な変化をあらわしたものである。したがつて波起し桿附近で碎波が現れる条件と、 $x=0$ 点における水粒子の水平方向の最大速度が波速に等しくなると仮定して、その限界を求める

こと、簡単な計算により

$$H = \frac{gT^2}{2\pi^2} (\tanh \frac{2\pi h}{L})^2$$

となる。ここで、 $g$  は重力加速度である。図-1 のハツチの部分は  $H \geq \frac{gT^2}{2\pi^2} (\tanh \frac{2\pi h}{L})^2$  の範囲を示すもので、この部分では permanent type の波が起り得ないことにによるが、実験値はこの値よりかなり大きくなっている。この点についでは、今後さらに詳細に検討するつもりである。

## 2. 波形に関する実験結果

Biesel が理論的に求めた波形は正弦波形であるが、実験結果においてはほとんど正弦波形はみられない。一般に波形勾配  $\eta_L$  が大きくなると実験値と理論値との相違が顕著になってくる。この点については講演時に詳細に述べるつもりであるが、

いま一つの便法として波高  $H$  と離水面より上の部分の水面上昇高  $H_u$  との比の百分率と  $H_u/H$  との関係を求めると、図-3 のようである。ここで、実線は佐藤博士の求めた有限波高の波に対する  $H_u/H$  の値で、

$$\frac{H_u}{H} \times 100 (\%) = 50 \left( 1 + \frac{H}{2} \left( \frac{H}{L} \right) \coth \frac{2\pi h}{L} \right)$$

図-2

で表わされる。この図からわかるように、フラッターワー式波試し桟の波は佐藤の式とかなりよく一致すると考えられ、 $\eta_L = 0.01 \sim 0.02$  付近においてはかなり正弦波形に近いことがわかるが、 $\eta_L$  が 0.02 以上になると、波頂が steep になり、波谷が flat になるのがみられる。

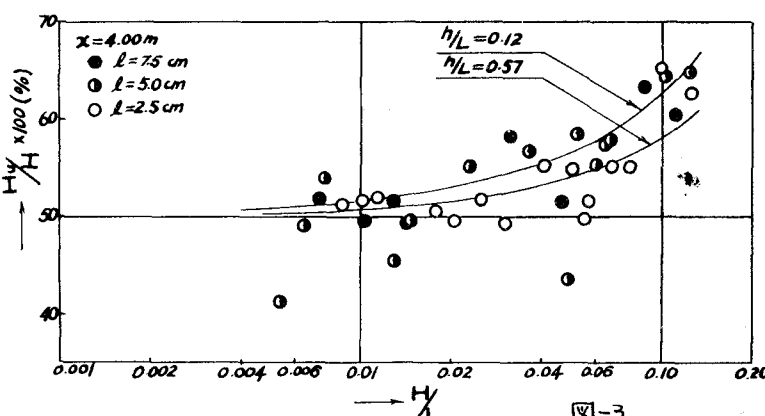


図-3

$x = 4.00 \text{ m}$   
 ●  $L = 7.5 \text{ cm}$   
 ○  $L = 5.0 \text{ cm}$   
 □  $L = 2.5 \text{ cm}$   
 實驗: B.Biesel の理論的線

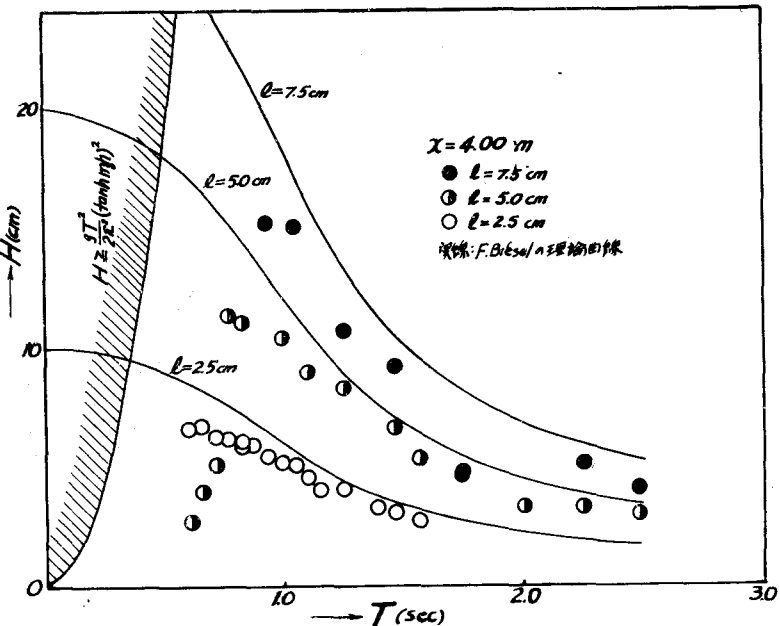


図-1

$$\begin{aligned} T &= 0.60 \text{ sec} \\ x &= 2.00 \text{ m} \\ L &= 3.00 \text{ cm} \\ T &= 0.60 \text{ sec} \\ x &= 6.00 \text{ m} \\ L &= 5.00 \text{ cm} \end{aligned}$$

なお、現在実験的にさらに詳細に検討を加えているが、その内容については講演時に述べるつもりである。